

# Corrigé de l'épreuve d'Optique Géométrique et Physique / BTSOL 2009

Joseph Hormière

Ce corrigé n'a pas de valeur officielle et n'est donné qu'à titre informatif

par Acuité, sous la responsabilité de son auteur.

## Partie A – Étude de l'instrument

### I- L'oculaire

1) L'oculaire a pour focale :  $f' = \frac{f'_1 f'_2}{f'_1 + f'_2 - O_1 O_2} = \frac{4a \times 2a}{4a + 2a - 3a} = \frac{8a}{3} > 0$

La puissance intrinsèque est égale à la vergence ; la vergence est l'inverse de la focale ; il s'ensuit :

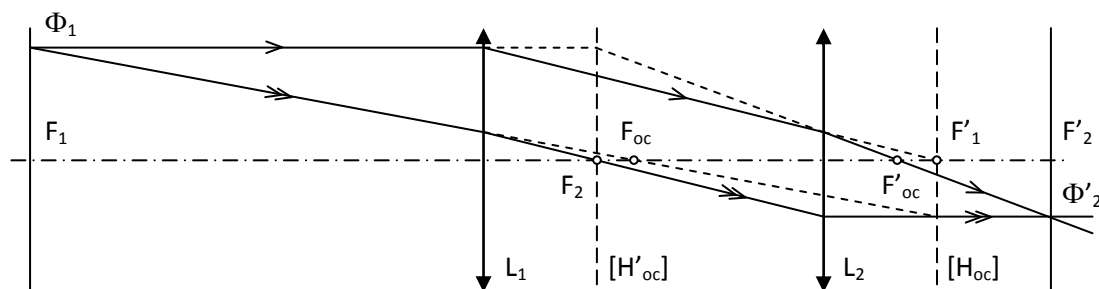
$$\frac{8a}{3} = \frac{1}{P_{i_{oc}}} = \frac{1}{50} \text{ m, soit } 20 \text{ mm. D'où}$$

$$a = 7,5 \text{ mm}$$

$$f'_1 = 4a = 4 \times 7,5 = 30 \quad O_1 O_2 = 3a = 3 \times 7,5 = 22,5 \quad f'_2 = 2a = 2 \times 7,5 = 15$$

$$f'_1 = +30 \text{ mm} \quad O_1 O_2 = 22,5 \text{ mm} \quad f'_2 = +15 \text{ mm}$$

2)



On constate que  $H_{oc}$  est en  $F'_1$  et  $H'_{oc}$  en  $F_2$ .

3)  $F_{oc} \xrightarrow{L_1} F_2 \xrightarrow{L_2} \infty \quad \frac{1}{O_1 F_{oc}} = \frac{1}{O_1 F_2} - \frac{1}{f'_1} = \frac{1}{O_1 O_2 + O_2 F_2} - \frac{1}{f'_1}$

$$\frac{1}{O_1 F_{oc}} = \frac{1}{22,5 - 15} - \frac{1}{30} = \frac{3}{30} \quad \overline{O_1 F_{oc}} = +10 \text{ mm}$$

Comme  $F_{oc}$  est virtuel, car situé après  $L_1$ , l'oculaire est négatif.

4) L'oculaire est achromatique car :

1. les deux lentilles sont faites dans le même matériau – et ont donc même nombre d'Abbe – et

$$2. f'_1 + f'_2 = 4a + 2a = 6a = 2 \times 3a = 2e$$

## II- Étude de l'objectif

5) Le grossissement commercial du microscope est égal au quotient de sa puissance intrinsèque par quatre dioptries. La puissance intrinsèque est donc :

$$P_i = G_c \times 4 \delta = 250 \times 4 \delta \quad \boxed{P_i = 1000 \delta}$$

6) L'observateur emmétrope désaccommodé regarde l'image instrumentale à l'infini. Celle-ci est caractérisée par son diamètre apparent  $\theta'$ .

Les conjugués objets respectifs de cette image sont respectivement  $y_1$ , taille de l'image objective placée en  $A_1$  (confondu avec  $F_{oc}$ ) et  $y$ , taille de l'objet placé en  $A$  (confondu avec  $\Phi$ ).

$$P_i = \left| \frac{\theta'}{y} \right| = \left| \frac{\theta' y_1}{y_1 y} \right| \quad \text{L'oculaire est utilisé de façon intrinsèque, car l'image qu'il donne est à l'infini.}$$

En fin de compte,  $\boxed{P_i = |g_y| \times P_{i_{oc}}}$

7)  $|g_y| = \frac{P_i}{P_{i_{oc}}} = \frac{1000}{50} = 20$  Comme le grandissement algébrique d'un objectif de microscope est

toujours négatif,  $\boxed{g_y = -20}$

$$g_y = \frac{-\overline{F'_{ob} A_1}}{f'_0} = \frac{-\Delta}{f'_0} \quad f'_0 = \frac{-\Delta}{g_y} = \frac{-180}{-20} \quad \boxed{f'_0 = +9 \text{ mm}}$$

8) La formule de conjugaison de Newton donne :  $\overline{F_0 A} \times \overline{F_0 A_1} = -f'_0{}^2$

et comme  $\boxed{A \text{ est en } \Phi}$  et  $A_1$  en  $F_{oc}$  :  $\overline{F_0 \Phi} = \frac{-f'_0{}^2}{\Delta} = \frac{-9^2}{180} \quad \boxed{\overline{F_0 \Phi} = -0,45 \text{ mm}}$

## III- Étude des champs

9) La relation d'Abbe (ou relation des sinus) donne, pour un objectif aplanétique,

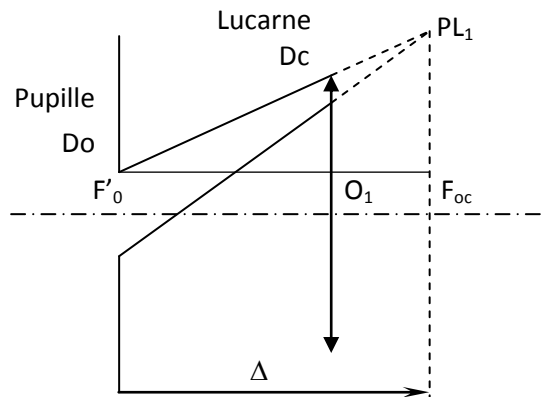
$$y \sin u = y_1 \sin u_1 \cong y_1 \tan u_1 \quad \text{car l'angle } u_1 \text{ est toujours très petit.}$$

$u$  est le demi-angle d'ouverture du faisceau utile issu de A, dans l'espace objet ;  $u_1$  est le demi-angle d'ouverture du faisceau qui lui correspond dans l'espace de l'image objective.

En valeur absolue,  $|y|_{ON} = |y_1| \frac{R_{Do}}{\Delta}$   $R_{Do} = \frac{\Delta \times ON}{|g_y|} = \frac{180 \times 0,6}{20} = 5,4 \text{ mm}$

Le diamètre du diaphragme d'ouverture est donc  $\boxed{\varnothing Do = 10,8 \text{ mm}}$

10)



Le faisceau utile, à la limite du champ de pleine lumière dans l'espace image de l'objectif, a pour sommet  $PL_1$  sur  $[F_{oc}]$  ; il s'appuie sur la pupille et tangente intérieurement la lucarne.

Si l'on considère les deux triangles rectangles semblables de la figure,

$$\frac{R_{PL1} - R_{Do}}{\Delta} = \frac{R_{Dc} - R_{Do}}{\Delta - O_1F_{oc}} \quad \frac{R_{PL1} - 5,5}{180} = \frac{12 - 5,5}{180 - 10} = \frac{6,5}{170} \quad R_{PL1} = 12,38 \text{ mm} \quad \boxed{\varnothing PL_1 = 24,8 \text{ mm}}$$

11) Pour éliminer le champ de contour, il faut placer un diaphragme dans le plan d'une image réelle. Ici, comme  $F_{oc}$  est virtuel,  $\boxed{\text{c'est en } F_2 \text{ réel qu'il faut placer le diaphragme.}}$

Son diamètre est le produit du diamètre précédent par le grandissement entre  $F_{oc}$  et  $F_2$ .

$$g_y(F_{oc}, F_2) = \frac{\overline{O_1F_2}}{\overline{O_1F_{oc}}} = \frac{\overline{O_1O_2} + \overline{O_2F_2}}{\overline{O_1F_{oc}}} = \frac{22,5 - 15}{10} = 0,75$$

$$\varnothing PL_2 = 0,75 \varnothing PL_1 = 0,75 \times 24,76 \quad \boxed{\varnothing PL_2 = 18,6 \text{ mm}}$$

12) Voir dernière page.

## Partie B – Utilisations de l'instrument

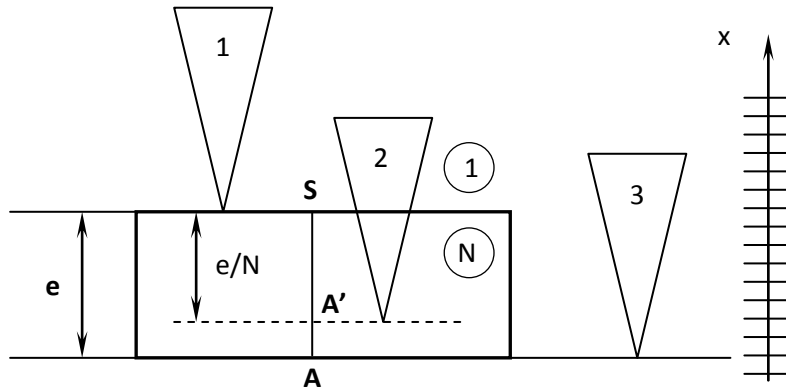
13) Dans l'espace objet du microscope,

- la limite de résolution due à la diffraction est  $LS_{diff} = \frac{1,22\lambda}{2ON} = \frac{1,22 \times 0,55}{2 \times 0,6} = 0,56 \mu\text{m}$

- la limite de résolution due à l'œil est  $LS_{\text{œil}} = \frac{\theta'_{\text{lim}}}{\text{Pi}} = \frac{3 \times 10^{-4}}{1000} \text{ m}$  soit  $0,30 \mu\text{m}$

On retiendra le plus grand des deux résultats :  $LS = 0,56 \mu\text{m}$

14)



Le deuxième pointé revient à effectuer la mise au point du microscope sur l'image du second dioptre de la lame par rapport au premier.

Une simple relation de conjugaison donne :  $1/SA' = N/SA$ , soit  $SA' = SA/N = e/N$ .

On a donc :  $x_1 - x_3 = e = 18,342 - 16,302 = 2,040 \text{ mm}$

et  $x_1 - x_2 = e/N = 18,342 - 17,008 = 1,334 \text{ mm}$   $N = e/1,334 = 2,040/1,334 = 1,529$

En résumé  $e = 2,040 \text{ mm}$  et  $N = 1,529$

## Partie C – Traitement des surfaces optiques

### I- Choix de l'indice

15)  $r_1 = \frac{n_c - 1}{n_c + 1}$   $r_2 = \frac{n - n_c}{n + n_c}$

16)  $\frac{n_c - 1}{n_c + 1} = \frac{n - n_c}{n + n_c} \Rightarrow (n_c - 1)(n + n_c) = (n_c + 1)(n - n_c)$

Après développement, et simplification, on obtient :  $n_c = \sqrt{n}$

Application numérique :  $n = 1,52 \rightarrow n_c = 1,233$

17) L'indice de la cryolithe étant différent de l'indice calculé, l'antireflet ne sera pas « parfait » ; il présentera un reflet résiduel coloré d'autant plus grand que l'écart d'indice  $|n_c(\text{théorique}) -$

$n_c(\text{réel})$  sera grand. Le traitement multicouche sera nécessaire pour réduire le plus possible ce reflet.

## II- Détermination de l'épaisseur

18) La différence de chemin optique, ou différence de marche, est  $\delta = 2n_c e$

19) La couche sera antireflet quand les deux ondes réfléchies seront en opposition de phase. Elles donneront alors des interférences destructives.  $\delta = (2k + 1)\lambda / 2$  où  $k$  est un nombre entier.

20) L'épaisseur minimale est obtenue pour  $k = 0$ .

$$2n_c e = \lambda/2 \quad \rightarrow \quad e = \frac{\lambda}{4n_c} \quad e = \frac{550}{4 \times 1,35} \quad e = 102 \text{ nm}$$

## III- Efficacité de l'antireflet

$$21) \quad R_v = \left( \frac{n-1}{n+1} \right)^2 = \left( \frac{1,52-1}{1,52+1} \right)^2 \quad R_v = 0,0426$$

$$22) \quad T = (1 - R_v)^6, \text{ car il y a 3 lentilles, et donc 6 dioptries} \quad T = 77 \%$$

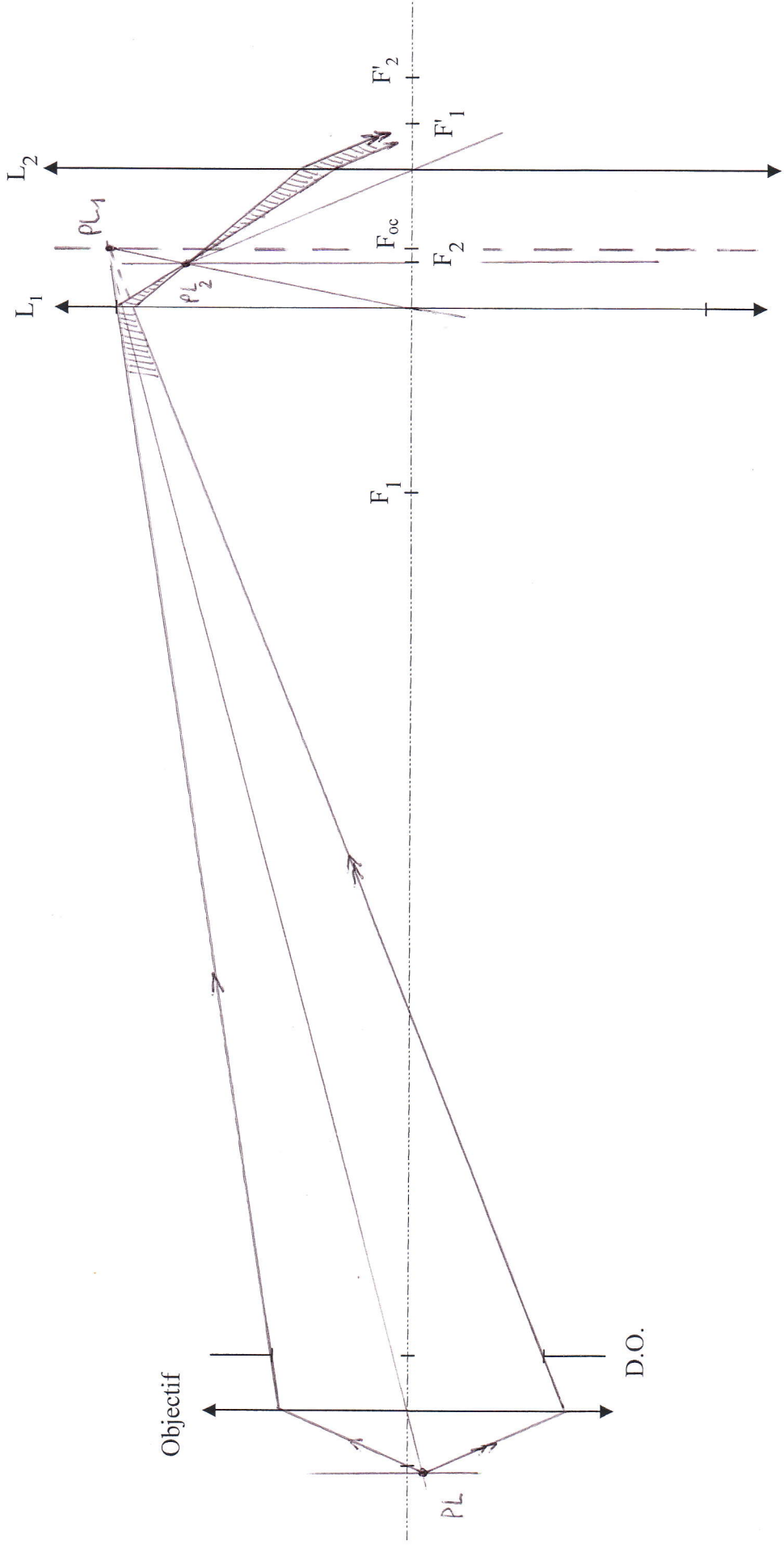
$$23) \quad R = \left( \frac{n - n_c^2}{n + n_c^2} \right)^2 = \left( \frac{1,52 - 1,35^2}{1,52 + 1,35^2} \right)^2 \quad R = 0,0082$$

$$24) \quad T = (1 - R)^6 \quad T = 95 \%$$

25) Le traitement antireflet permet d'augmenter le facteur de transmission d'environ 20%.

De plus, la réduction des reflets internes contribue à diminuer considérablement les images parasites, ainsi que le voile de diffusion qui dégrade le contraste de l'image.

FEUILLE-RÉPONSE À RENDRE AVEC LA COPIE



Échelle axiale : 1:1  
 Échelle transversale : 4:1

BTS OPTICIEN LUNETIER	Session 2009
Optique géométrique et physique – U. 42	Page : 5/5
OLOGPH	